

Вертикальная составляющая экстремально низкочастотного электрического поля, возбуждаемого заземленным горизонтальным вибратором

© П.Е. Терещенко

Полярный геофизический институт,
183010 Мурманск, Россия
e-mail: tereshchenko@gmail.com

(Поступило в Редакцию 8 октября 2009 г. В окончательной редакции 24 ноября 2009 г.)

Получено представление для вертикальной компоненты электрического поля, излучаемого заземленным линейным вибратором, в виде интеграла от осциллирующей функции, описан метод его численного интегрирования. Для частного случая, когда среда под антенной однородна и регистрация поля производится на границе раздела, проведено преобразование полученной формулы с помощью интегралов Фока к виду, удобному для нахождения простых приближенных формул и анализу особенностей поведения поля. По полученным выражениям произведены расчеты, подтверждающие аналитические выкладки.

Введение

Задача, связанная с возбуждением электромагнитного поля заземленным источником, имеет довольно длительную историю [1]. Ее важность обусловлена широким использованием электромагнитных полей как в геологоразведке, так и для связи с объектами, погруженными в проводящую среду. В таких задачах в основном используются горизонтальные составляющие электромагнитных полей, и соответственно большинство статей посвящено исследованию этих составляющих для различных моделей подстилающей поверхности.

В настоящей работе рассмотрим вертикальную составляющую электрического поля, играющую важную роль при исследовании влияния мощного низкочастотного электромагнитного поля на биологические объекты, а также имеющую самостоятельное применение при решении задачи дистанционного зондирования [2]. Расчеты выполним для однородной по проводимости Земли, что позволит получить приближенные аналитические формулы, пригодные для количественной оценки поведения вертикальной составляющей электрического поля в зависимости от расстояния, частоты и проводимости. Усложнение модели подстилающей среды на

многослойную приводит не к принципиальным затруднениям, а лишь к большей громоздкости вычислений. Будем рассматривать поле на расстояниях, меньших или сравнимых с высотой ионосферного волновода, для которых влияние ионосферы невелико и можно пренебречь сферичностью Земли [3,4].

1. Постановка задачи и результаты вычислений

Рассмотрим излучение в двуслойной среде заземленной антенны длиной $2L$, питаемой током с гармонической зависимостью от времени $e^{-i\omega t}$ (рис. 1). Среду в области $z > 0$ считаем вакуумом с бесконечно малой, но отличной от нуля проводимостью $\sigma_0 > 0$, диэлектрической проницаемостью $\epsilon_0 = 10^{-9}/36\pi \text{ F/m}$ и магнитной проницаемостью $\mu_0 = 4\pi \cdot 10^{-7} \text{ H/m}$. Предположим, что область $z < 0$ имеет электромагнитные параметры ϵ_1 , μ_1 , σ_1 . В [5] показано, что задача возбуждения электромагнитного поля током \mathbf{J}_{CT} сводится к решению уравнений Гельмгольца для электрического вектора \mathbf{A} с соответствующими граничными условиями.

Так как рассматриваем зондирование монохроматическими волнами, будем использовать уравнения для комплексных амплитуд \mathbf{A} , соответствующих ($\mathbf{A} \rightarrow \mathbf{A} e^{-i\omega t}$, $\mathbf{E} \rightarrow \mathbf{E} e^{-i\omega t}$) монохроматических компонент:

$$\nabla^2 \mathbf{A}^{(j)} + k_j^2 \mathbf{A}^{(j)} = -\mathbf{J}_{CT}, \quad (1)$$

$$\mathbf{A}^{(1)}|_{z=0} = \mathbf{A}^{(0)}|_{z=0}, \quad \frac{\partial A_x^{(1)}}{\partial z}|_{z=0} = \frac{\partial A_x^{(0)}}{\partial z}|_{z=0},$$

$$\frac{\partial A_y^{(1)}}{\partial z}|_{z=0} = \frac{\partial A_y^{(0)}}{\partial z}|_{z=0}, \quad \frac{1}{k_1^2} \operatorname{div} \mathbf{A}^{(1)}|_{z=0} = \frac{1}{k_0^2} \operatorname{div} \mathbf{A}^{(0)}|_{z=0},$$

$$\mathbf{A}(\mathbf{r})|_{|\mathbf{r}| \rightarrow \infty} \rightarrow 0.$$

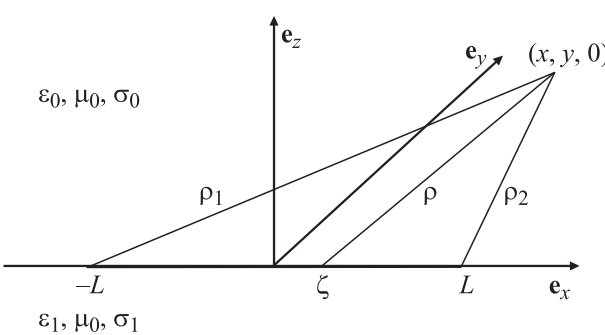


Рис. 1. Геометрия задачи.

Последнее соотношение в (2) необходимо для исключения волн, приходящих из бесконечности, вследствие их поглощения в среде. Значок $j = 0$ и 1 указывает на среду, к которой относится соответствующее значение вектора \mathbf{A} , $k_j = \frac{\omega}{c} \sqrt{\frac{\epsilon_j}{\epsilon_0} + i \frac{\sigma_j}{\omega \epsilon_0}}$ — волновое число, при этом ветвь корня фиксируется исходя из условия $\text{Im } k_j > 0$, c — скорость света.

Значения электромагнитных полей \mathbf{E} и \mathbf{H} можно определить по соотношениям:

$$\mathbf{E}^{(j)} = i\omega\mu_0\mathbf{A}^{(j)} - \text{grad} \frac{\text{div } \mathbf{A}^{(j)}}{i\omega(\epsilon_j + i\sigma_j/\omega)}, \quad \mathbf{H}^{(j)} = \text{rot } A^{(j)}. \quad (3)$$

Построить решение уравнения (1) с помощью одной составляющей электрического вектора потенциала \mathbf{A} , например A_x , для горизонтального диполя не удается, так как при $k_0 \neq k_1$ нельзя одновременно удовлетворить второму и четвертому граничному условию. Поэтому представим вектор \mathbf{A} в следующем виде:

$$\mathbf{A}^{(j)} = A_x^{(j)} \mathbf{e}_x + A_z^{(j)} \mathbf{e}_z.$$

Общее решение уравнений (1) для точечного источника $\mathbf{J}_{CT} = J_x \delta(x - \xi) \delta(y) \delta(z) \mathbf{e}_x$, где $\xi \in [-L, L]$ — положение источника на оси x , $\delta(x)$ — дельта-функция, можно представить в следующем виде [5]:

$$\begin{aligned} A_x^{(j)} &= \frac{J_x}{4\pi} P_x^{(j)}(\rho, z) \\ &\equiv \frac{J_x}{4\pi} \int_0^\infty \left[\left(\frac{i\lambda}{\sqrt{k_j^2 - \lambda^2}} \delta_{0,j} + \alpha_j \right) e^{i\sqrt{k_j^2 - \lambda^2} z} \right. \\ &\quad \left. + \left(\frac{i\lambda}{\sqrt{k_j^2 - \lambda^2}} \delta_{1,j} + \beta_j \right) e^{-i\sqrt{k_j^2 - \lambda^2} z} \right] J_0(\lambda\rho) d\lambda, \quad (4) \\ A_z^{(j)} &= \frac{J_x}{4\pi} \frac{\partial}{\partial x} F^{(j)}(\rho, z) \\ &\equiv -\frac{J_x}{4\pi} \frac{\partial}{\partial x} \int_0^\infty \left[\eta_j e^{i\sqrt{k_j^2 - \lambda^2} z} + \gamma_j e^{-i\sqrt{k_j^2 - \lambda^2} z} \right] \frac{J_0(\lambda\rho)}{\lambda} d\lambda. \end{aligned}$$

Здесь $J_0(\lambda\rho)$ — функция Бесселя, $\rho = \sqrt{(x - \xi)^2 + y^2}$, $\delta_{i,j}$ — символ Кронекера. Ветвь квадратного корня в показателе экспоненты фиксируем исходя из условия

$$\text{Im } \sqrt{k_j^2 - \lambda^2} > 0. \quad (5)$$

Члены в формуле (4), содержащие символ Кронекера, соответствуют полю точечного источника в однородном пространстве, а остальные отражают влияние границы.

Для компактности записи, а также чтобы провести аналогию с работами по геоэлектрике [1,5], введем обозначения $k_j = i\chi_j$ и $\nu_i = -i\sqrt{k_j^2 - \lambda^2} = \sqrt{\chi_j^2 + \lambda^2}$, тогда из соотношения (5) следует, что $\text{Re } \nu_j > 0$.

Определим коэффициенты α_j , β_j , η_j и γ_j так, чтобы (4) удовлетворяло граничным условиям (2). Рассмотрим поле над границей раздела. Из формул (3) и (4) получаем

$$\begin{aligned} E_z^{(0)}(\rho, z) &= \frac{J_x}{4\pi} (i\omega\mu_0) \\ &\times \frac{\partial}{\partial x} \left[F^{(0)}(\rho, z) - \frac{\partial}{\partial z} \frac{P_x^{(0)} + \frac{\partial F^{(0)}(\rho, z)}{\partial z}}{\chi_0^2} \right]. \quad (6) \end{aligned}$$

Из требования равенства нулю поля на бесконечности, следует что $\beta_0 = \gamma_0 = 0$. Другие коэффициенты α_0 и η_0 находятся из граничных условий и для однородного полупространства имеют вид:

$$\alpha_0 = \frac{\lambda}{\nu_0} \frac{\nu_0 - \nu_1}{\nu_0 + \nu_1}, \quad \eta_0 = \frac{2\lambda^2(\chi_0^2 - \chi_1^2)}{(\nu_0 + \nu_1)(\chi_1^2\nu_0 + \chi_0^2\nu_1)}. \quad (7)$$

При этом

$$\begin{aligned} P_x^{(0)}(\rho, z) &= \int_0^\infty \left(\frac{\lambda}{\nu_0} + \alpha_0 \right) e^{-i\nu_0 z} J_0(\lambda\rho) d\lambda, \\ F^{(0)}(\rho, z) &= - \int_0^\infty \frac{\eta_0}{\lambda} e^{-\nu_0 z} J_0(\lambda\rho) d\lambda. \quad (8) \end{aligned}$$

Подстановка в (6) выражений (7) и (8) дает следующий результат:

$$E_z^{(0)}(\rho, z) = \frac{J_x}{4\pi} (i\omega\mu_0) \frac{\partial}{\partial x} U_z(\rho, z), \quad (9)$$

где

$$U_z(\rho, z) = \int_0^\infty \frac{2\lambda\nu_1}{\chi_1^2\nu_0 + \chi_0^2\nu_1} e^{-\nu_0 z} J_0(\lambda\rho) d\lambda. \quad (10)$$

Для того чтобы получить значение для поля, возбуждаемого линейной антенной длиной $2L$, необходимо проинтегрировать выражение (9) по длине антенны

$$\begin{aligned} \mathcal{E}_z &= \int_{-L}^L E_z(\rho, z) d\xi \\ &= \frac{J_x}{4\pi} (i\omega\mu_0) [U_z(\rho_1, z) - U_z(\rho_2, z)], \\ \rho_1 &= \sqrt{(x + L)^2 + y^2}, \quad \rho_2 = \sqrt{(x - L)^2 + y^2}. \end{aligned}$$

Представление $U_z(\rho, z)$ в виде (10) не позволяет даже при $z = 0$ воспользоваться для его вычисления интегралами Фока, как это имеет место для других составляющих электромагнитного поля [5], однако это несобственный интеграл, содержащий осциллирующую функцию $J_0(\lambda\rho)$. Для расчетов таких интегралов имеются хорошо разработанные численные методы, в частности метод

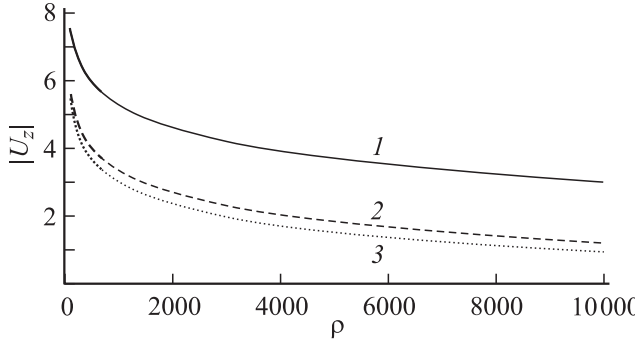


Рис. 2. Зависимость $|U_z|$ от расстояния ρ для ряда частот f . 1 — $f = 1$, 2 — 50, 3 — 100 Hz.

Лонгмана [6], заключающийся в замене исходного интеграла на сумму определенных интегралов с пределами в соседних нулях осциллирующей функции. К получившемуся плохо сходящемуся знакопеременному ряду применяют преобразование Эйлера, что дает быстро сходящийся ряд с остатком $|R_n| < 2^{-p}|V_n|$, где n — число членов ряда, $|V_n|$ — величина последнего учитываемого члена. Применив данный метод для расчета зависимости $U_z(\rho, z = 0)$ от расстояния ρ и частоты $f = \omega/2\pi$ при проводимости $\sigma_1 = 5 \cdot 10^{-5}$ С/м и диэлектрической проницаемости $\epsilon_1 = 5$ Ф/м, получим результаты, показанные на рис. 2.

2. Представление поля $E_z^{(0)}(\rho, z)$ на основе интегралов Фока

Как было отмечено выше, представление вертикальной составляющей электрического поля в форме (9) не позволяет напрямую применить интегралы Фока [1] для расчета функции $U_z(\rho, z = 0)$. Найдем эквивалентное (9) представление для $E_z^{(0)}(\rho, z)$, позволяющее воспользоваться разработанным аппаратом вычисления интегралов, содержащих функцию Бесселя.

Из формулы (6) с учетом (8) следует соотношение

$$E_z^{(0)}(\rho, z) = \frac{J_x}{4\pi} \frac{i\omega\mu_0}{\kappa_0^2} \times \frac{\partial}{\partial x} \left[-\frac{\partial}{\partial z} P_x^{(0)}(\rho, z) + \int_0^\infty \lambda^2 \frac{\eta_0}{\lambda} e^{-\nu_0 z} J_0(\lambda\rho) d\lambda \right], \quad (11)$$

а из дифференциального уравнения для $J_0(\lambda\rho)$ можно получить, что

$$\lambda^2 J_0(\lambda\rho) = -\frac{1}{\rho} \frac{\partial}{\partial \rho} J_0(\lambda\rho) - \frac{\partial^2}{\partial \rho^2} J_0(\lambda\rho). \quad (12)$$

Преобразуем (11) с учетом (12). Так как

$$\begin{aligned} \int_0^\infty \lambda^2 \frac{\eta_0}{\lambda} e^{-\nu_0 z} J_0(\lambda\rho) d\lambda &= -\left(\frac{1}{\rho} \frac{\partial}{\partial \rho} + \frac{\partial^2}{\partial \rho^2} \right) \\ &\times \int_0^\infty \frac{\eta_0}{\lambda} e^{-\nu_0 z} J_0(\lambda\rho) d\lambda = \left(\frac{1}{\rho} \frac{\partial}{\partial \rho} + \frac{\partial^2}{\partial \rho^2} \right) F^{(0)}(\rho, z), \end{aligned}$$

то можно привести еще одно представление для $E_z^{(0)}(\rho, z)$

$$\begin{aligned} E_z^{(0)}(\rho, z) &= \frac{J_x}{4\pi} \frac{i\omega\mu_0}{\kappa_0^2} \frac{\partial}{\partial x} \left[-\frac{\partial}{\partial z} P_x(\rho, z) \right. \\ &\left. + \frac{1}{\rho} \frac{\partial}{\partial \rho} F^{(0)}(\rho, z) + \frac{\partial^2}{\partial \rho^2} F^{(0)}(\rho, z) \right]. \end{aligned}$$

Рассмотрим поле на границе двух сред $E_z^{(0)}(\rho, z = 0)$. В работе [1] приводится статья В.А. Фока, в которой дан способ вычисления $\frac{\partial}{\partial z} P_x(\rho, z)|_{z=0}$ и $F^{(0)}(\rho, z = 0)$. Применив его, получим следующий результат:

$$E_z^{(0)}(\rho, z = 0) = \frac{J_x}{4\pi} (i\omega\mu_0) \frac{\partial}{\partial x} U_z(\rho, z = 0),$$

где

$$\begin{aligned} U_z(\rho, z = 0) &= - \left\{ \frac{\kappa_1^2}{\kappa_1^2 - \kappa_0^2} I_0\left(\rho \frac{\kappa_1 - \kappa_0}{2}\right) K_0\left(\rho \frac{\kappa_1 + \kappa_0}{2}\right) \right. \\ &+ \frac{\kappa_1^2}{\kappa_1^2 + \kappa_0^2} I_1\left(\rho \frac{\kappa_1 - \kappa_0}{2}\right) K_1\left(\rho \frac{\kappa_1 + \kappa_0}{2}\right) - 2 \frac{\kappa_1^4}{\kappa_1^4 - \kappa_0^4} \\ &\times \left. \frac{\kappa_0^2}{\kappa_1^2 + \kappa_0^2} \left[I_0\left(\rho \frac{\kappa_1 - \kappa_0}{2}\right) K_0\left(\rho \frac{\kappa_1 + \kappa_0}{2}\right) + T \right] \right\}, \end{aligned} \quad (13)$$

I_0, K_0 — модифицированные функции Бесселя,

$$\begin{aligned} T &= \frac{1}{\pi} \int_0^\infty K_0\left(\rho \sqrt{\kappa_1^2 \sin^2 \frac{\theta}{2} + \kappa_0^2 \cos^2 \frac{\theta}{2}}\right) \\ &\times \frac{\kappa_1^2 \kappa_0^2}{\kappa_1^4 \sin^2 \frac{\theta}{2} + \kappa_0^4 \cos^2 \frac{\theta}{2}} d\theta. \end{aligned}$$

Представление $U_z(\rho, z = 0)$ в виде (13) удобно для нахождения простых приближенных формул и анализа особенностей поведения вертикальной составляющей электромагнитного поля. Для квазистационарного случая, когда можно пренебречь максвелловским током смещения по сравнению с током проводимости, можно положить [1] $\kappa_0 = 0$. Тогда (13) существенно упростится. При этом характер поведения функции $U_z(\rho, z = 0)$ будет зависеть только от параметра $\rho\kappa_1/2$, поэтому ее целесообразно рассматривать для двух предельных значений: $\rho|\kappa_1/2| \ll 1$ и $\rho|\kappa_1/2| \gg 1$. Используя представление модифицированных функций Бесселя в виде рядов

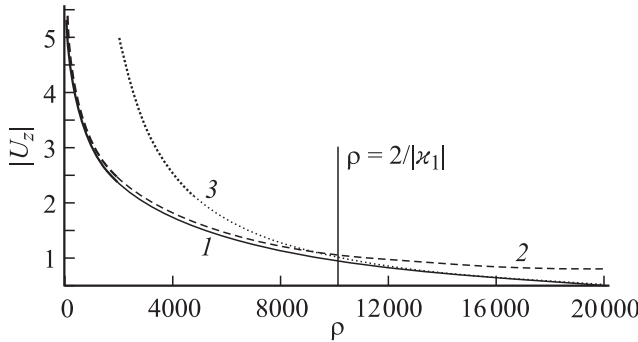


Рис. 3. Зависимость $|U_z|$ — и его асимптотик от расстояния ρ для частоты $f = 100 \text{ Hz}$. 1 — точное значение $|U_z|$, 2 — асимптотика $|U_z|$, рассчитанная по формуле (14), 3 — по (15).

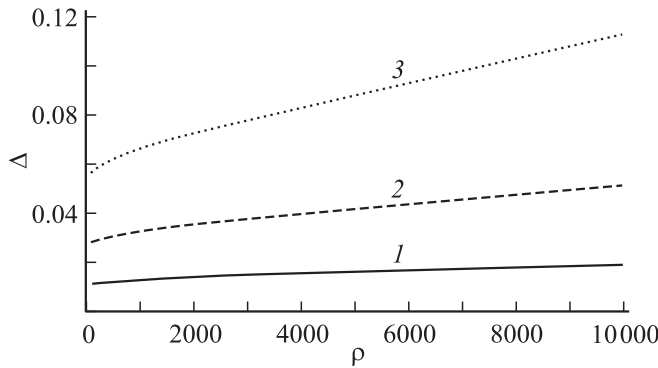


Рис. 4. Зависимость относительной погрешности Δ (в процентах) от расстояния ρ и частоты f : 1 — 20, 2 — 50, 3 — 100 Hz.

и асимптотических разложений [7], можно получить

$$U_z(\rho, z=0) \sim \ln \rho \frac{\kappa_1}{4}, \quad \rho \left| \frac{\kappa_1}{2} \right| \ll 1, \quad (14)$$

$$U_z(\rho, z=0) \sim -\frac{2}{\rho \kappa_1}, \quad \rho \left| \frac{\kappa_1}{2} \right| \gg 1. \quad (15)$$

На рис. 3 приведены приближенные значения $|U_z|$, полученные по этим формулам, и точные, рассчитанные с использованием (10). Эти расчеты подтверждают справедливость областей применимости данных асимптотик.

Теперь оценим относительную погрешность (в процентах)

$$\Delta = 2 \frac{\kappa_1^4}{\kappa_1^4 - \kappa_0^4} \frac{\kappa_0^2}{\kappa_1^2 + \kappa_0^2} \left[I_0 \left(\rho \frac{\kappa_1 - \kappa_0}{2} \right) \times K_0 \left(\rho \frac{\kappa_1 + \kappa_0}{2} \right) + T \right] \frac{100}{U_z(\rho, z=0)},$$

возникающую при пренебрежении последним слагаемым в выражении (13).

На рис. 4 приведены результаты расчета Δ при проводимости $\sigma = 5 \cdot 10^{-5} \text{ S/m}$ и диэлектрической проницаемости $\epsilon_1 = 5 \text{ F/m}$ для ряда частот. Видно, что в extremely низком диапазоне при малой проводимости

подстилающей поверхности можно отбросить последний член в (13).

Также было произведено сравнение расчетов при $z = 0$ по формуле (10) с использованием метода Лонгмана и учетом первых двадцати слагаемых в полученном ряде и по формуле (13). Расхождение не превышало $10^{-6} \%$.

Заключение

В результате выполнения расчетов получены два представления для вертикальной компоненты электрического поля, излучаемого заземленным линейным вибратором. При этом представление с помощью интегралов Фока более удобно для качественного анализа поведения поля как функции расстояния, частоты и других параметров. Такое представление возможно только для частного случая, когда среда под антенной однородна и регистрация поля производится на границе раздела. В свою очередь, интегральное представление с осциллирующей функцией $J_0(\lambda\rho)$ в подынтегральном выражении свободно от этих ограничений и может быть использовано как для определения поля в любой точке, так и обобщено на многослойную плоскослоистую среду.

Автор благодарит Терещенко Е.Д. за помощь и плодотворную дискуссию при написании работы.

Работа выполнена при поддержке Российского фонда фундаментальных исследований (гранты № 09-05-12-12 ОФИ_М).

Список литературы

- [1] Бурсиан В.Р. Теория электромагнитных полей, применяемых в электроразведке. Л.: Недра, 1972. 367 с.
- [2] Жданов М.С. Теория обратных задач и регуляризация в геофизике. М., 2007. 710 с.
- [3] Bannister P.R., Williams F.J. // J. Geophys. Res. 1974. Vol. 79. N 8. P. 725–732.
- [4] Терещенко Е.Д., Григорьев В.Ф., Сидоренко А.Е. и др. // Геомагнетизм и аэрономия. 2007. Т. 47. № 6. С. 855–856.
- [5] Вешев А.В. Электромагнитное профилирование на постоянном и переменном токе. Л.: Недра, 1980. 391 с.
- [6] Longman I.M. // Cambridge Phil. Soc. Proc. 1956. Vol. 52. 764 p.
- [7] Градиштейн И.С., Рыжик И.М. Таблицы интегралов, сумм, рядов и произведений. М., 1962. 1100 с.